

带三体势的 IBM1 的 $O(6)$ 极限对 偶偶 Pt 核的应用

王黄生 廖继志

(四川大学物理系 成都 610064)

1992年4月15日收到

摘要

通过在 IBM1 哈密顿中, 引入一种简单的等效三体势, $O(6)$ 核能谱可得到不同程度的修正。本文具体计算了 $^{192-198}\text{Pt}$ 偶偶同位素核的能谱和 $E2$ 跃迁几率, 理论计算值与实验数据符合较好。

关键词 三体势, $O(6)$ 极限, $E2$ 跃迁, 等效电荷。

1 引言

根据 Arima 和 Iachello 提出的相互作用玻色子模型(IBM)^[1], 原子核中存在 $U(5)$ 、 $O(6)$ 、 $SU(3)$ 三种动力学对称性。但实际的原子核并不具有很纯的对称性, 一般是某几种对称性的混合, 因而研究三种极限对称性破缺的问题, 就成为 IBM 理论中一个很活跃的方面。早在 1984 年 Heyde 等人就在 IBM1 中引入了三体相互作用^[2], 研究三种极限下的三轴形变, 为了解决 $O(6)$ 极限中与 Staggering 现象相关的困难, 也曾有人求助于 d 玻色子之间的三体相互作用^[3-5]。在上述工作中采用形如 $[(d^+d^+)^{(2)}d^+]^{(3)} \cdot [(\tilde{d}\tilde{d})^{(2)}\tilde{d}]^{(3)}$ 的三体项, 结果能减弱能谱中的 Staggering 现象。文献[6, 7]以不同形式将三体相互作用引入 IBM2 哈密顿。计算结果表明, 虽然 Staggering 现象基本消失, 但能级间隔随 τ 值增大而过快地增加, 使能级整体符合情况变坏。我们在最近的工作中引入了另一种形式的三体相互作用^[8], 并实际计算了一些 $O(6)$ 核的能谱, 与纯 $O(6)$ 极限能谱比较, 和实验谱的整体符合情况有较明显的改善。本文进一步讨论引入三体势后的 $E2$ 跃迁几率问题, 并对偶偶 Pt 核作了实际计算, 从与实验符合的情况来看, 结果也是比较令人满意的。

2 模型哈密顿量和 $E2$ 跃迁

本文沿用前文^[9]的符号, 模型哈密顿量有如下形式:

$$H = H_{O(6)} + V_3, \quad (1)$$

其中 $H_{O(6)}$ 是标准的 IBM $O(6)$ 极限哈密顿量:

$$H_{O(6)} = AC_{2O(6)} + BC_{2O(5)} + CC_{2O(3)}, \quad (2)$$

$C_{2O(6)}$ 、 $C_{2O(5)}$ 和 $C_{2O(3)}$ 分别是群 $O(6)$ 、 $O(5)$ 、和 $O(3)$ 的二次 Casimir 算子; V_3 为三体相互作用势

$$V_3 = 5P \sum_L \sum_I W(2222; 2I) [(d^+ d^+)^{(L)} d^+]^{(L)} \cdot [(\tilde{d} \tilde{d})^{(L)} \cdot \tilde{d}]^{(L)}, \quad (3)$$

经过一系列简化运算, 上式可以重写为:

$$V_3 = P(n_d - 2)[(d^+ \tilde{d})^{(2)} \cdot (d^+ \tilde{d})^{(2)} - n_d]. \quad (4)$$

哈密顿量(1)的本征态波函数可以按 $O(6)$ 基 $|[n], \sigma, \tau, \nu, L, M\rangle$ 展开

$$|\psi_{L\sigma}\rangle = \sum_{\sigma\tau\nu} A_{\sigma\tau\nu}^{L\sigma} |[n], \sigma, \tau, \nu, L, M\rangle, \quad (5)$$

其中 a 为附加量子数, 用以区分 L 相同的不同态。这样, 在 $O(6)$ 基中对角化哈密顿量(1)即可求得能谱和波函数。为此, 可以用 $U(5)$ 基展开 $O(6)$ 基^[9]:

$$|[n], \sigma, \tau, \nu, L, M\rangle = \sum_{n_d} \xi_{n_d, \tau}^\sigma |[n], n_d, \tau, \nu, L, M\rangle, \quad (6)$$

能量矩阵元的计算已在文献[8]中给出, 这里从略。

现在讨论 $E2$ 跃迁问题。在相互作用玻色子模型中, $E2$ 跃迁算符的一般表达式为:

$$T(E2)_K = e_2 \{(s^+ \tilde{s} + d^+ \tilde{d})_K^2 + \chi(d^+ \tilde{d})_K^2\}, \quad (7)$$

其中 e_2, χ 是参数, e_2 相当于有效电荷, χ 决定 $T(E2)_K$ 中两项的相对重要性。在 $O(6)$ 极限下, 一般取 $\chi = 0$, 则

$$T(E2)_K = e_2 (d^+ \tilde{s} + s^+ \tilde{d})_K^2, \quad (8)$$

正是 $O(6)$ 群的无穷小生成元。它在 $O(6)$ 基中的约化矩阵元为:^[9]

$$\begin{aligned} F_{L'L}(\tau) &= \langle [n], \sigma' = n, \tau + 1, \nu', L' \| T(E2) \| [n], \sigma = n, \tau, \nu, L \rangle \\ &= e_2 \frac{[(n - \tau)(n + \tau + 4)]^{1/2}}{2(n + 1)} \times \left[(n + \tau + 3) \frac{a_{L'L}(\tau)}{(2\tau + 5)^{1/2}} \right. \\ &\quad \left. + (n - \tau - 1) \frac{b_{L'L}(\tau)}{2^{1/2}} \right], \end{aligned} \quad (9)$$

这里

$$a_{L'L}(\tau) = \langle \tau + 1, \tau + 1, \nu', L' \| d^+ \| \tau, \tau, \nu, L \rangle,$$

$$b_{L'L}(\tau) = \langle \tau + 1, \tau + 1, \nu', L' \| d \| \tau + 2, \tau, \nu, L \rangle.$$

加三体势后, $T(E2)_K$ 仍取上面的形式, 其约化矩阵元为(仅限于 $\sigma = n$ 的情形):

$$\begin{aligned} \langle \psi_{L'\sigma} \| T(E2) \| \psi_{L\sigma} \rangle &= \sum_{\tau'\nu'} \sum_{\tau\nu} A_{\tau\nu}^{L\sigma} A_{\tau'\nu'}^{L'\sigma'} \langle [n], \sigma' = n, \tau', \nu', L' \| \\ T(E2) \| [n], \sigma = n, \tau, \nu, L \rangle &= \sum_{\tau'\nu'} \sum_{\tau\nu} A_{\tau\nu}^{L\sigma} A_{\tau'\nu'}^{L'\sigma'} (F_{L'L}(\tau) \delta_{\tau', \tau+1} \\ &\quad + (-1)^{L'-L} F_{LL'}(\tau - 1) \delta_{\tau', \tau-1}). \end{aligned} \quad (10)$$

由于限制了 $\sigma = \sigma' = n$, 故上式中已将 $A_{\tau\nu}^{L\sigma}$ 简写成 $A_{\tau\nu}^{L\sigma}$ 。

由上式即可算出 $E2$ 跃迁的约化跃迁几率或 $B(E2)$ 值,

$$B(E2; L_i \rightarrow L_f) = \frac{1}{2L_i + 1} |\langle L_f | T(E2) | L_i \rangle|^2. \quad (11)$$

3 计算结果和讨论

本文通过对 $^{192-198}\text{Pt}$ 偶偶同位素核的计算, 检验了带有三体项的 $O(6)$ 极限能谱和 $B(E2)$ 值与实验数据的符合情况。结果表明, 引入三体项后, 从整体上改善了理论谱与实验谱的符合程度。特别是 τ 值较大的能级的改进较为明显。(参看图 1, 2)。这是因为 V_3 中包含有 $[\tau(\tau + 3)]^2$ 项的缘故^[3]。

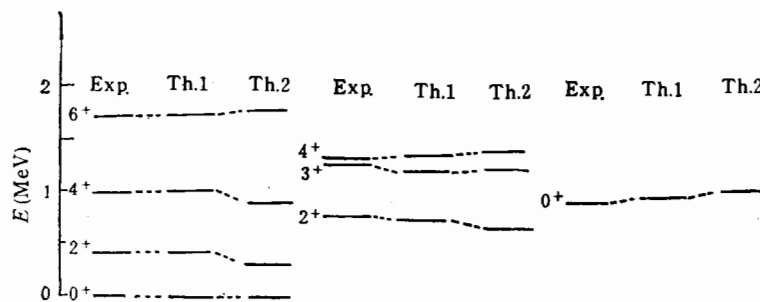


图 1 ^{198}Pt ($N = 5$) 核能谱

图中 Th.1 代表加三体项后的 $O(6)$ 极限谱, Th.2 代表 IBM1 的计算结果, Exp. 为实验数据。参数单位: keV. 参数 $B = 468.9$, $C = 18.01$, $P = 12.98$; $B' = 325.6$, $C' = 18.65$, Exp. 取自文献[10]。

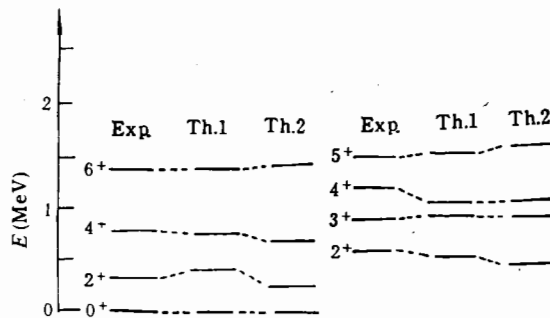


图 2 ^{192}Pt ($N = 8$) 核能谱

图中各符号意义如图 1。参数 $B = 114.38$, $C = 14.28$, $P = -4.9$; $B' = 251.61$, $C' = 14.99$. Exp. 取自文献[11]。

表 1 计算 $E2$ 跃迁中用到的等效电荷(单位: eb)

	^{192}Pt	^{194}Pt	^{196}Pt	^{198}Pt
$e_z(\text{eb})$	0.1411	0.1470	0.1526	0.1536
$\frac{1}{2} (e_n + e_s)^{1/2}$	0.1538	0.1570	0.1598	0.1600

我们还计算了加三体项后, $^{192-198}\text{Pt}$ 偶偶同位素核的 $E2$ 跃迁几率, 计算中等效电荷 e_2 的值是用 $B(E2; 2_1 \rightarrow 0_1)$ 的实验值来确定的。表 1, 2 分别给出了各核素的 $E2$ 等效电荷 e_2 值和约化跃迁几率 $B(E2)$, 并与实验数据进行了比较。

表 2 Pt 同位素的 $E2$ 约化跃迁几率(单位: $e^2 b^2$)

	I_i	I_f	Cal.	Exp.	I_i	I_f	Cal.	Exp.
^{198}Pt	2_1	0_1	0.212	0.212(10) 0.218(14) 0.204(20)	4_3	2_1	1.22×10^{-3}	
	2_2	2_1	0.2697	0.262(38)	4_2	2_2	0.0944	
	2_3	2_1	3.2×10^{-4}	0.040(25)	6_1	4_1	0.1236	≤ 0.395
	4_1	2_1	0.2695	0.2700(23)	6_2	4_2	0.118	
	2_1	0_1	0.280	0.280(8) 0.276(1) 0.264(11) 0.288(14)	4_1	2_1	0.3666	0.409(22) 0.403(32)
	2_2	2_1	0.3666	0.318(23) 0.350(31)	4_3	3_1	0.0298	
	3_1	2_2	0.1646		4_2	4_1	0.1778	0.193(97)
	3_1	4_1	0.1066		6_1	4_1	0.3733	0.421(116)
	2_1	0_1	0.332	0.332(12) 0.324(3)	4_2	4_1	0.2225	0.87(43) 0.28(12) 0.18(6)
	2_2	2_1	0.4435	0.423(15)	6_1	4_1	0.4672	0.48(14) 0.32(8)
^{194}Pt	3_1	2_2	0.1877					
	4_1	2_1	0.4434	0.449(22) 0.47(14)	6_2	4_2	0.20	0.28(6)
	4_2	2_2	0.1376	0.18(6) 0.28(12) 0.69(39)	6_1	6_1	0.1397	0.36(11)
	2_1	0_1	0.382	0.382(12) 0.367(4) 0.42(2)	4_1	3_1	0.1018	
	2_2	2_1	0.517	0.46(5)	4_2	4_1	0.2653	0.48(14) 0.32(8)
	3_1	2_2	0.2076	0.43(6)	6_2	4_2	0.2239	
	4_1	2_1	0.5174	0.58	6_2	6_1	0.1727	
	4_1	3_1	0.1221	0.163(23)				

注: 实验数据取自文献[12-20]。

从计算结果来看, 除一些较弱的跃迁外, 理论计算值都很好地再现了实验值。但包含三体项的计算结果与 IBM1 的极限情况相比, 一般修正较小。其原因很可能来源于这样一个事实, 即当哈密顿量中包含三体势时, 相应地也应将 $E2$ 算符扩展到较高级, 而本计算并未这样做。但是本文的结果与有三体修正的 IBM2^[7] 计算值大体吻合。不过文献[7]

中引入的三体相互作用与这里的三体势有所不同。本工作确定的 $E2$ 等效电荷十分接近于 IBM2 中质子和中子 $E2$ 等效电荷的平均值^[7], 变化趋势也一致: e_2 随质量数(中子数)增加而增大, 如表 1 所示。

从能谱和 $E2$ 跃迁几率两方面的情况来看, 我们引入的三体项对 $O(6)$ 对称性造成了一定程度的破缺, 对 $O(6)$ 核能谱有较明显改进, $E2$ 跃迁几率也与实验数据符合得比较好。但是对称破缺的程度显得不够大, 还不能再现像 $2_i^+ \rightarrow 0_i^+$ 之类的禁戒跃迁的实验 $B(E2)$ 值, $B(E2)$ 的计算值与 IBM1 极限下的结果几乎相等, 这一点在 Heyde 等人的工作中^[2]也有相同的结论, 且他们的 $T(E2)$ 算符中已包含有 $(d^+\tilde{d})^{(2)}$ 项。由此可见, 要得到更好的结果, 只有尝试将 $T(E2)$ 算符中除了 $(d^+\tilde{d})^{(2)}$ 项外, 再包含一些更高阶项, 或者在 IBM2 框架下进行考虑, 但无论哪种途径, 情况都要比现在复杂得多。

参 考 文 献

- [1] A. Arima and F. Iachello, *Ann. Phys.*, **99**(1976) 253; **111**(1978)201.
- [2] K. Heyde et al., *Phys. Rev.*, **C29**(1984) 1420.
- [3] R.F. Casten et al., *Nucl. Phys.*, **A439**(1985)289.
- [4] A. Sevrin, K. Heyde and J. Jolie, *Phys. Rev.*, **C36**(1987)2631.
- [5] Sun HongZhou et al., *Phys. Letters*, **163B**(1985)7.
- [6] G.L. Long et al., *J. Phys. G: Nucl. Part. Phys.*, **16**(1990)813.
- [7] Y.X. Liu et al., *J. Phys. G: Nucl. Part. Phys.*, **17**(1991)877.
- [8] 王黄生, 廖继志, 高能物理与核物理, **16**(1992)954.
- [9] A. Arima and F. Iachello, *Ann. Phys.*, **123**(1979)468.
- [10] K. Stelzer and F. Rauch et al., *Phys. Lett.*, **70B** (1977)297.
- [11] R.L. Auble, *Nucl. Data Sheets*, **40**(1983)301.
- [12] H.H. Bolotin and A.E. Stuchbery et al., *Nucl. Phys.*, **A370**(1981)146.
- [13] R. Bijker and A.E. Dieperink et al., *Nucl. Phys.*, **A344**(1980)207.
- [14] S. Raman and C.H. Malarkey et al., *At Data Nucl. Data Tables*, **36**(1987)1.
- [15] G.J. Gyapong and R.H. Spear et al., *Nucl. Phys.*, **A458**(1986)165.
- [16] C. Baktash and J.X. Saladin et al., *Phys. Rev.*, **C18**(1978)131.
- [17] G.J. Gyapong et al., *Nucl. Phys.*, **470A** (1987)415.
- [18] E. Eid and N.M. Stewart, *Z. Phys.*, **320**(1985)495.
- [19] T. Venkova and W. Andrejtscheff, *At. Data Nucl. Data Tables*, **26**(1981)93.
- [20] I. Berkes et al., *Phys. Rev.*, **C6**(1972)1098.

Applications of the O(6) Limit of IBM1 with Three-Body Potential to the Even-Even Platinum Nuclei

Wang Huangsheng Liao Jizhi
(Sichuan University, Chengdu, 610064)
Received on April 15, 1992

Abstract

By introducing a simple effective three-body potential into the IBM1 Hamiltonian, the spectra of $O(6)$ nuclei are improved. In this paper, the calculations of energy spectra and $E2$ transition probabilities of even-even $^{192-198}\text{Pt}$ nuclei are carried out, and the results agree with experimental data fairly well.

Key Words Three-body potential, $O(6)$ limit, $E2$ transition, Effective charge.